



式(1)を式(5)に代入して、

$$\tau_r V_x - \sigma_r V_y = c_r V \cos \phi \quad (5)$$

となり、無補強の場合と同様の表示が得られ、式(3)を式(5)に代入すればジオグリッド敷設による内部消散が得られる。図-1に示すようなメカニズムを用い、従来の手順<sup>4)</sup>に従い支持力を土くさび角度 $\omega$ と角度 $\theta_1$  ( $\omega + \theta_1 = \pi/2 + \phi + \alpha$ )をパラメータとして計算して、次式で示す。

$$q_R = cN_c + \gamma D_f N_q + \frac{1}{2} \gamma B N_\gamma + \frac{F_{Tmax} \cos \phi \cos \omega}{B \sin(\omega - \phi)} \quad (6)$$

ここに、 $N_c$ 、 $N_q$ 、 $N_\gamma$ は支持力係数であり、土の内部摩擦角 $\phi$ と土くさび角度 $\omega$ 及び角度 $\theta_1$  (あるいは $\alpha$ )の関数であり、次式に示す。

$$N_c = \frac{\cos \phi}{2 \cos \omega \sin(\omega - \phi)} \left[ 1 - \frac{\sin(\omega + \theta_1)}{\cos(\phi - (\omega + \theta_1))} \frac{e^{2\theta_1 \tan \phi} + e^{2\theta_1 \tan \phi} - 1}{\sin \phi} \right] \quad (7a)$$

$$N_q = \frac{\cos(\omega + \theta_1)}{2 \cos \omega \sin(\omega - \phi)} \left[ \cos(\omega + \theta_1) - \sin(\omega + \theta_1) \tan(\phi - (\omega + \theta_1)) \right] e^{2\theta_1 \tan \phi} \quad (7b)$$

$$N_\gamma = \frac{\sin(\omega + \theta_1) \cos(\omega + \theta_1)}{4 \cos^2 \omega \sin(\omega - \phi)} \left[ \cos(\omega + \theta_1) - \sin(\omega + \theta_1) \tan(\phi - (\omega + \theta_1)) \right] e^{3\theta_1 \tan \phi} + \frac{3 \tan \phi \cos \omega + \sin \omega \left[ 3 \tan \phi \cos(\omega + \theta_1) + \sin(\omega + \theta_1) \right] e^{3\theta_1 \tan \phi}}{4 \cos^2(\omega - \phi) \sin(\omega - \phi) (1 + 9 \tan^2 \phi)} - \frac{1}{2} \tan \omega \quad (7c)$$

支持力式(6)において、 $q_R$ を最小させるような角度 $\alpha$ を求めれば、精度のよい上界値が得られる。例えば、根入れのない場合、 $c$ を0としたとき、角度 $\alpha$ を変化させた支持力係数 $N_r$ と土くさび角 $\omega$ の関係を図-3に示す。図-3(a)は $\phi = 30^\circ$ 、図(b)は $\phi = 35^\circ$ 、図(c)は $\phi = 40^\circ$ の場合の $N_r \sim \omega$ 関係を示すものである。 $\alpha$ は $N_r \sim \omega$ 関係に与える影響が小さいが、いずれの $\phi$ においてもほぼ $(45^\circ - \phi/2)$ になると同じ $\omega$ に対する $N_r$ は最小となる(図-3中の実線)。そこで、図-1にて $\alpha = (45^\circ - \phi/2)$ のときのすべり面を破壊のメカニズムとして考えられる。また、このとき、 $N_r$ は $\omega$ によって異なり、 $\omega$ が約 $(45^\circ + \phi/2)$  ( $= \omega_0$ と置く)のとき、最小値を得る。この $\omega_0$ に対する支持力を無補強基礎地盤の支持力とする。無補強の場合の $\omega_0$ を基準として土くさび角度 $\omega$ が大きくなると、 $N_r$ は大きくなるので支持力が増加する。土くさび角度 $\omega$ とジオグリッドの敷設方法との関係およびジオグリッドに生じる最大引張力 $F_{Tmax}$ が定められれば、式(6)を用いて支持力を評価できる。

4. あとがき ジョグリッド補強による基礎地盤の支持力の効果を、破壊域拡大の効果とせん断抵抗の効果として考慮した速度場法を用いて評価することが可能である。模型実験によれば、土くさび角はジオグリッドの敷設深さと敷設幅の増加にともない増加する<sup>2)</sup>が、その具体的な関数形の決定およびジオグリッドに生じる最大引張力の算定方法については今後の課題である。

- 参考文献 1) 楊 他：第25回土質工学研究発表会講演集 pp. 2069~2072, 1990.6. 2) 楊 他：第27回土質工学研究発表会講演集 pp. 2393~2394, 1992.6. 3) 大谷 他：ジオグリッド敷込み工法における補強効果，平成4年度土木学会西部支部研究発表会（投稿中） 4) 木村 他：土の強さと地盤の破壊入門，土質工学会，pp. 273~312, 1987.7. 5) 楊 他：第6回ジオテクスタイルシンポジウム論文集，pp. 15~23, 1991.12.

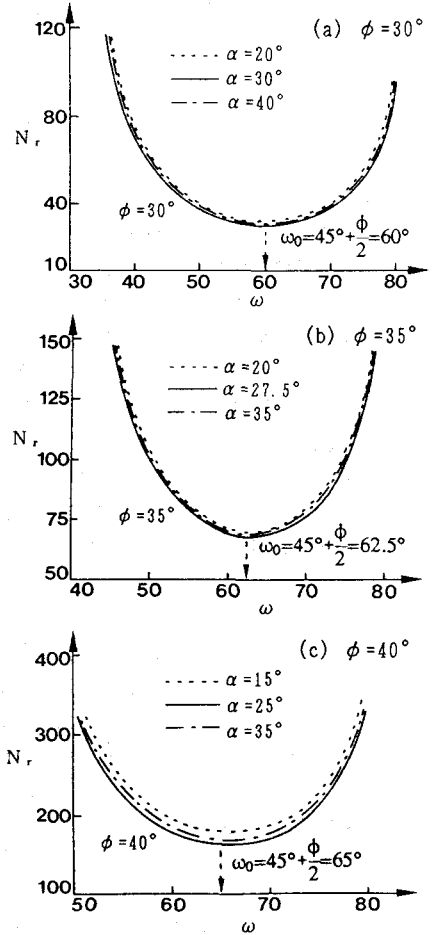


図-3 支持力係数 $N_r$ と土くさび角度 $\omega$ の関係